

относительная погрешность формулы О. Е. Власова менее 4%. Погрешность стационарной составляющей относительной температуры при $\rho \leq 0.1$ ничтожно мала [7]. Таким образом, максимальная погрешность решений (1.12) и (2.3) при ограничениях (3.2), которые в практике, как правило, выполняются, не превышает нескольких процентов.

Поступила 30 VIII 1973

ЛИТЕРАТУРА

1. Власов О. Е. Дополнения редактора к книге Г. Гребера «Введение в теорию теплопередачи». М., Госэнергоиздат, 1933.
2. Кутателадзе С. С., Рабинович А. Л. Расчет почвенного обогрева теплиц. Отопление и вентиляция. 1935, № 12.
3. Иоффе И. А. О стационарном температурном поле в полуограниченном массиве с внутренними цилиндрическими источниками тепла. Ж. техн. физ., 1958, т. 28, № 5.
4. Сандер А. А. Температурное поле ряда трубопроводов, заложенных в массиве. Изв. вузов, Строительство и архитектура, 1958, № 1.
5. Карслоу Г., Еггер Д. Теплопроводность твердых тел. М., «Наука», 1964.
6. Каля Я. Н. О точности замены цилиндрического источника тепла точечным при нахождении температурного поля в полуограниченном массиве. Инж.-физ. ж., 1972, т. 22, № 2.
7. Переверзев Д. А. Об одной двухмерной задаче стационарной теплопроводности. Инж.-физ. ж., 1965, т. 8, № 5.

УДК 624.131.439.7

УРАВНЕНИЕ СЖАТИЯ ВОДОНАСЫЩЕННОГО ПЕСКА И ГРАНИЦЫ ЕГО ПРИМЕНИМОСТИ

В. А. Кривцов

(Киев)

В [1] введено приближенное уравнение состояния многокомпонентной среды, в котором фигурируют величины сжимаемостей отдельных компонент. В данной заметке определяются текущие значения объемного содержания компонентов, приводится анализ уравнения сжатия и определяются границы его применимости для водонасыщенного песка.

В основу модели среды [1] положено допущение о том, что твердый компонент, представляющий собой мелкодисперсную среду, не образует скелета, а находится во взвешенном состоянии, и что каждый компонент сжимается по закону, свойственному ему в свободном состоянии. Для водонасыщенного песка эта модель применима, если он находится в разжиженном (пльвунном) состоянии. Опыты, проведенные в водонасыщенном песке, показали приемлемость в некоторых случаях уравнения [1] при наличии в нем скелета [2].

Определим текущие значения содержания компонентов по объему, проанализируем их и уравнение сжатия и оценим степень влияния скелета при сжатии песка.

Рассмотрим уравнение сжатия и объемное содержание компонентов водонасыщенного песка. Пусть при $P = P_0$ (атмосферное давление) содержание по объему газообразного, жидкого и твердого компонентов составляет $\alpha_1, \alpha_2, \alpha_3$, удельный объем каждого из них V_1, V_2, V_3 , плотность ρ_1, ρ_2, ρ_3 и скорость звука c_1, c_2 и c_3 .

При давлении $P > P_0$ соответствующие компоненты и параметры обозначим звездочкой, т. е. $\alpha_1^*, \alpha_2^*, \alpha_3^*$; V_1^*, V_2^*, V_3^* ; $\rho_1^*, \rho_2^*, \rho_3^*$ и текущую плотность трехкомпонентной среды — через ρ .

Пусть сжатие каждого компонента соответствует уравнению Тэта, т. е.

$$(1) \quad \frac{\Delta P + B}{B} = \left(\frac{V_0}{V} \right)^\gamma = \left(\frac{\rho}{\rho_0} \right)^\gamma$$

где ΔP — избыточное давление; B — среднее межмолекулярное давление компонента, которое для воздуха равно атмосферному, т. е. $B_1 = \rho_1 c_1^2 / \gamma_1 = \bar{P}_0$, а для воды и

кварца соответственно $B_2 = \rho_2 c_2^2 / \gamma_2$, $B_3 = \rho_3 c_3^2 / \gamma_3$; V_0 и V — начальное и текущее значения удельного объема компонента; γ — показатель изэнтропы компонента.

Текущие значения плотности и удельного объема компонентов в соответствии с уравнением (1)

$$(2) \quad \rho_i^* = \rho_i \left(\frac{\Delta P \gamma_i}{\rho_i c_i^2} + 1 \right)^{\gamma_i^{-1}}, \quad V_i^* = V_i \left(\frac{\Delta P \gamma_i}{\rho_i c_i^2} + 1 \right)^{\gamma_i^{-1}} \quad i = 1, 2, 3$$

а содержание компонентов по объему будет зависеть от сжимаемости и от начального содержания по объему каждого из них, т. е.

$$(3) \quad \alpha_i^* = V_i^* / \sum_{j=1}^3 V_j^*, \quad i = 1, 2, 3$$

Подставив далее в уравнения (3) значения удельных объемов из уравнения (2) и поделив числитель и знаменатель правой части на первоначальный объем V_0 трехкомпонентной среды, получим текущие значения содержания по объему каждого компонента

$$(4) \quad \alpha_i = \alpha_i \left(\frac{\Delta P \gamma_i}{\rho_i c_i^2} + 1 \right)^{-\gamma_i^{-1}} \left\{ \sum_{j=1}^3 \alpha_j \left(\frac{\Delta P \gamma_j}{\rho_j c_j^2} + 1 \right)^{-\gamma_j^{-1}} \right\}^{-1}, \quad i = 1, 2, 3$$

Выражения (2) и (4) позволяют получить уравнение [1]

$$(5) \quad \rho = \sum_{i=1}^3 \alpha_i^* \rho_i^* = \rho_0 \left[\sum_{i=1}^3 \alpha_i \left(\frac{\Delta P \gamma_i}{\rho_i c_i^2} + 1 \right)^{\gamma_i^{-1}} \right]^{-1}$$

$$\rho_0 = \sum_{i=1}^3 \alpha_i \rho_i$$

Вводя деформацию ε , запишем формулу (5) в виде

$$(6) \quad \varepsilon = 1 - \frac{\rho_0}{\rho} = 1 - \sum_{i=1}^3 \alpha_i \left(\frac{\Delta P \gamma_i}{\rho_i c_i^2} + 1 \right)^{-\gamma_i^{-1}}$$

Для проведения анализа полученных формул (4) и известных зависимостей (2), (5) [2] примем следующие исходные данные (табл. 1).

Таблица 1

Компоненты	Параметры			
	α	ρ , г/см ³	c , м/сек	γ
Воздух	0.29	0.00122	340	$\frac{4}{3}$
Вода	0.16	1.00	1450	7.1 [3]
Кварц	0.55	2.65	4500	3

Результаты вычислений по формулам (2), (4) — (6) приведены в табл. 2.

Из табл. 2 следует, что величины относительного сжатия компонентов в свободном состоянии весьма различны для воздуха и двух других компонентов и близки для воды и кварца. С увеличением давления α_1^* уменьшается, а α_3^* возрастает; α_2^* вначале возрастает, а затем уменьшается. Физический смысл такого изменения α_2^* заключается в следующем. При малых давлениях существенно уменьшается объем газового компонента и плотность газа значительно возрастает, тогда как жидкость и твердые частицы практически не изменяют свои объемы и плотности. В этом случае, в единице объема среды содержание газового компонента уменьшается, а содержание жидкого и твердого компонентов возрастает. При дальнейшем увеличении давления, когда абсолютный объем приращения α_2^* становится больше приращения компонента газа, α_2^* станет уменьшаться, а α_3^* будет продолжать увеличиваться, поскольку сжи-

Таблица 2

Пара- метры	$\Delta P, \text{ кг/см}^2$								
	0	1.0	5.0	20	50	100	200	500	1000
ρ_1^*/ρ_1	1	1.64	3.66	9.30	18.0	30.0	50.5	102	168
ρ_2^*/ρ_2	1	1.000	1.000	1.001	1.002	1.004	1.010	1.022	1.041
ρ_3^*/ρ_3	1	1.000	1.000	1.000	1.000	1.000	1.000	1.001	1.002
α_1^*	0.29	0.20	0.101	0.042	0.023	0.0134	0.0081	0.0040	0.0025
α_2^*	0.16	0.18	0.203	0.216	0.220	0.222	0.221	0.220	0.218
α_3^*	0.55	0.62	0.696	0.742	0.757	0.765	0.771	0.776	0.779
$\rho, \text{ г/см}^3$	1.62	1.823	2.047	2.183	2.227	2.250	2.267	2.282	2.292

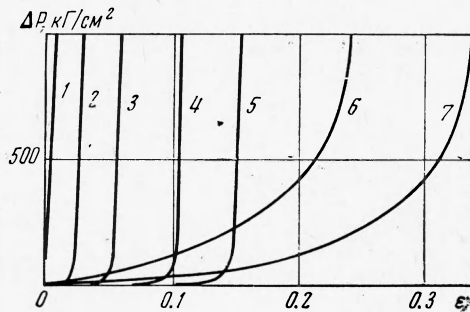
маемость твердого компонента меньше сжимаемости жидкости. Получить из уравнения (4) аналитическое выражение для давления, при котором α_2^* максимально, не представляется возможным.

В связи с малой сжимаемостью воды и кварца по сравнению с воздухом уравнение сжатия (5) до давлений 200 кг/см^2 можно заменить более простой зависимостью

$$\rho = \rho_0 \left\{ 1 - \alpha_1 \left[1 - \left(\frac{\Delta P \gamma_1}{\rho_1 c_1^2} + 1 \right)^{-\gamma_1} \right] \right\}^{-1}$$

максимальная погрешность по которой не превышает 1%.

Рассмотрим границы применимости уравнения сжатия к водонасыщенному песку. Для оценки степени влияния скелета на границы применимости уравнения [1] рассмотрим фиг. 1, на которой приведены кривые 1—5, полученные по уравнению (6) с исходными данными, указанными в табл. 3, и кривые гидростатического сжатия плотного (6) и рыхлого (7) песка воздушно-сухого состояния, заимствованные из работы [4].



Фиг. 1

Плотный песок (кривая 6) имеет пористость 0.24. В контактах частиц такого песка отсутствует стыковая вода и поэтому отсутствуют капиллярные силы, которые могут представлять собой сопротивление сдвигу при его сжатии. Водонасыщенный песок со скелетом имеет пористость, близкую к пористости уплотненного песка воздушно-сухого состояния, и в контактах частиц также отсутствуют капиллярные силы. Следовательно, процессы сжатия скелетов водонасыщенного песка и плотного песка воздушно-сухого состояния должны быть одинаковыми, поскольку они заключаются в переупаковке частиц и уплотнении песка. Об аналогичном процессе сжатия свидетельствует кривая 7 для рыхлого песка при давлениях свыше 100 кг/см^2 . На фиг. 1 можно заметить, что разница деформаций кривых 6 и 7 при фиксированных величинах давления $\Delta P \geq 100 \text{ кг/см}^2$ остается постоянной и равной 0.1.

Если допустить, что кривая сжатия скелета водонасыщенного песка аналогична кривой 6, то из сравнения кривых 1—5 с этой кривой (фиг. 1) можно судить о границах применимости уравнения (6).

На фиг. 2, полученной из фиг. 1, приведены зависимости относительной величины давления

$$\delta = \frac{\Delta P_l(\epsilon)}{\Delta P_l(\epsilon) + \Delta P_c(\epsilon)} 100\%$$

от давления сжатия при постоянном начальном содержании твердого компонента $\alpha_3 = 0.76$ и четырех значениях газового компонента $\alpha_1 = 0, 0.02, 0.05$ и 0.10 .

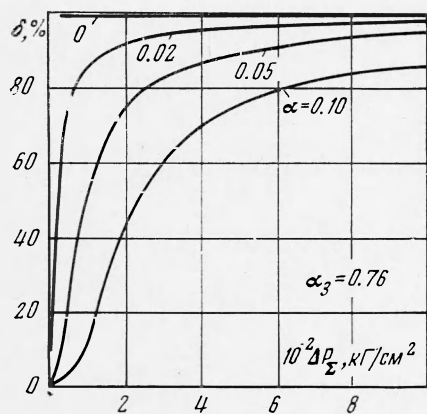
Здесь функция $\Delta P_l(\epsilon)$ определяется из формулы (6) и описывает кривые 1—5, а функция $\Delta P_c(\epsilon)$ описывает кривую 6 (фиг. 1). Значения давления ΔP_Σ (по оси абсцисс на фиг. 2) представляют собой сумму ($\Delta P_\Sigma = \Delta P_l(\epsilon) + \Delta P_c(\epsilon)$).

Графики фиг. 2 показывают степень точности формулы (6) в зависимости от давления сжатия и содержания газообразного компонента.

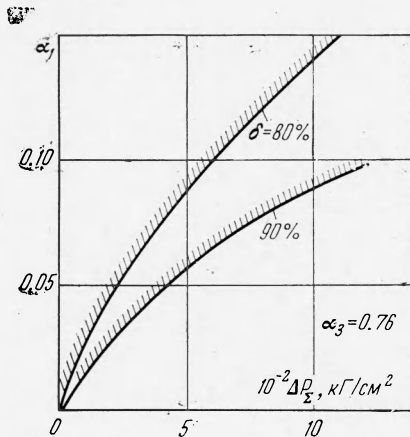
Анализ этих графиков показывает, что при $\alpha_1 = 0$ скелет практически не влияет на кривую сжатия водонасыщенного песка. С увеличением α_1 роль скелета в области малых давлений существенно увеличивается и точность формулы (6) уменьшается. При дальнейшем увеличении давления сжатия влияние скелета на сжатие уменьшается и точность формулы (6) возрастает.

Предложенная методика позволяет установить границы применимости уравнения [1] с заданной точностью при известных кривых сжатия скелета песка воздушно-сухого состояния. На фиг. 3 для конкретного примера построены две такие границы с точностями 80 и 90%. Области, находящиеся под кривыми границ, характеризуют применимость уравнения (6) при различных значениях α_1 и давления сжатия при начальном содержании $\alpha_3 = 0.76$. В областях над кривыми границ уравнение (6) с указанными точностями не применимо.

Для песчаных грунтов с тем же содержанием компонентов, что и рассмотрено выше, но с другими остальными характеристиками (форма частиц, состояние их поверхности, гранулометрический состав), полученные соотношения, как показали эксперименты, выполняются с достаточной для практики точностью.



Фиг. 2



Фиг. 3

Проведенный анализ показывает применимость уравнения [1] с заранее заданной точностью к водонасыщенному песку, содержащему скелет. Из анализа следует, что уравнение сжатия применимо с допустимой для практики точностью и к другим грунтам, в частности к глинистым, если известны кривые сжатия скелета с их структурными связями.

Таким образом, уравнение сжатия приобретает некоторую универсальность применения его к различным многокомпонентным средам, содержащим скелеты.

Поступила 1 III 1974

ЛИТЕРАТУРА

1. Ляхов Г. М. Ударные волны в многокомпонентных средах. Изв. АН СССР, ОТН, Механика и машиностроение, 1959, № 1.
2. Ляхов Г. М. Основы динамики взрыва в грунтах и жидких средах. М., «Недра», 1964.
3. Замышляев Б. В., Яковлев Ю. С. Динамические нагрузки при подводном взрыве. Л., «Судостроение», 1967.
4. Viscic A. S. Clough G. W. Behavior of granular materials under high stresses. J. Soil Mech. Foundat. Divis, SM3, 1968, vol. 94, No. 3.